

SKALÁR DIFFRAKCIÓ

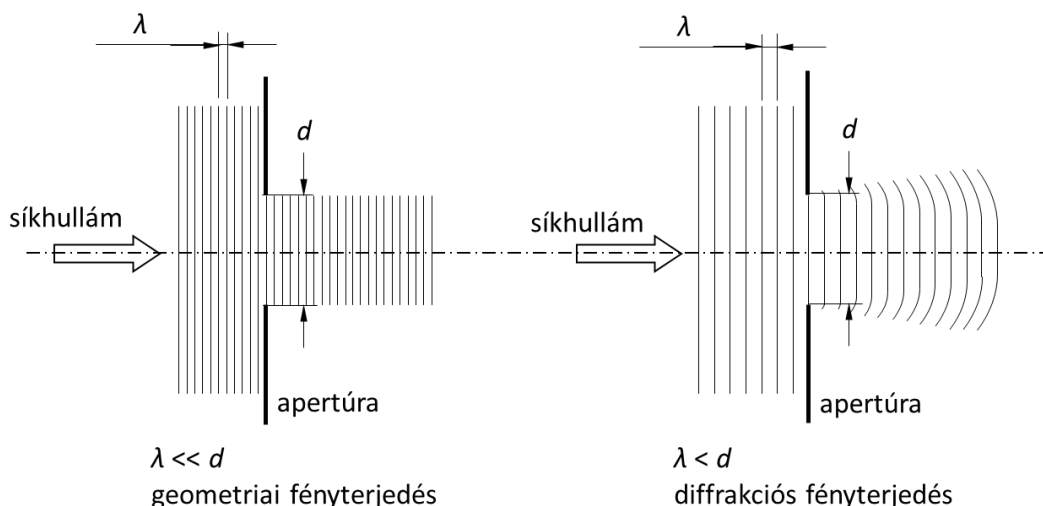
dr. Erdei Gábor, 2019-11-12

Ajánlott irodalom

Klein-Furtak, Optics
Richter, Bevezetés a modern optikába
Born-Wolf, Principles of optics
Goodman, Introduction to Fourier optics

Alapfogalmak

Diffrakció: (magyarul fényelhajlás) az a jelenség, amikor a fény terjedési iránya a geometriailag meghatározható iránytól jelentősen eltér (Sommerfeld). A fényelhajlás általában akkor eredményez észrevehető változást, ha a sugárzás útjába a hullámhosszával összemérhető nagyságú akadály esik, vagy általánosságban a közeg tulajdonságai (n , κ) a hullámhosszal összemérhető távolságon belül változnak meg.



Feladat: Ha adott felületen ismert a komplex térerő eloszlás, hogyan határozható meg a térerősség egy, a felületen kívül eső pontban?

Feltételek:

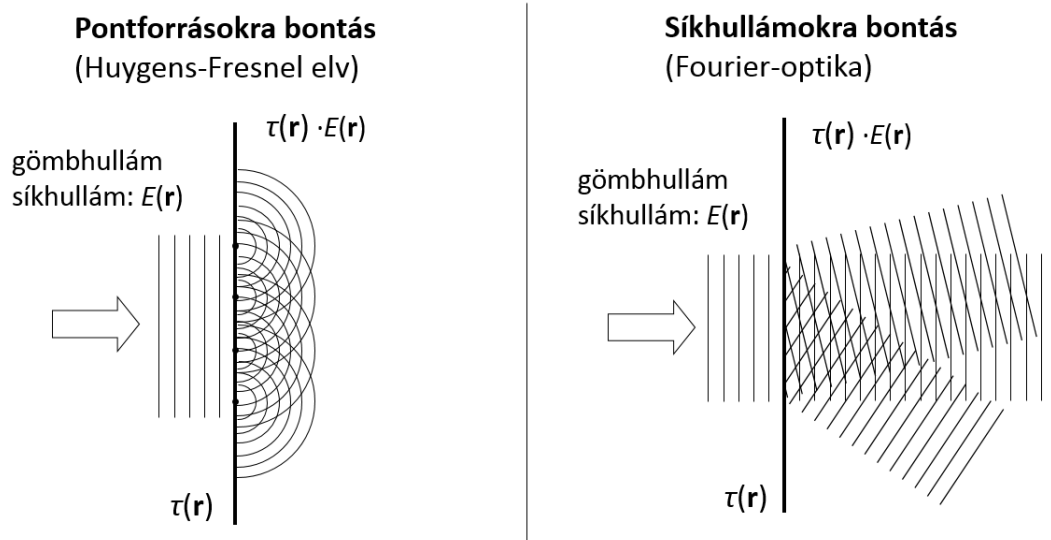
1. a kiindulási téreloszlás sík felületen adott
2. a felület különböző pontjai között időben állandó a fáziskülönbség (térbeli koherencia)
3. a megvilágító nyaláb ω körfrekvenciájú monokromatikus hullám (időbeli koherencia)
4. skalár közelítés: csak egy térerősség vektorkomponenst veszünk figyelembe, melynek iránya a fényterjedés során nem változik meg jelentősen (ha a fő terjedési iránnyal bezárt szög ϑ , akkor $\sin \vartheta < 0,6$ és $\cos \vartheta > 0,8$); a különböző irányú komponenseket egymástól függetlennek tekintjük
5. a terjedési térben a közegek jellemzőinek változása hullámhossznyi tartományon elhanyagolható (törésmutató, abszorpció) \rightarrow hullámegyenlet használható

Diffrakciós modellek

A diffrakció során kialakuló téreloszlás felfogható végtelen számú, folytonos eloszlású elemi hullámkomponens fázishelyes szuperpozíciójaként. Ehhez olyan elemi hullámokat célszerű választani, amelyek terjedése analitikusan leírható, és kielégítik a hullámegyenletet. Két alapvető, egymással ekvivalens tárgyalásmód létezik:

- pontforrásokra bontás (Huyghens-Fresnel elv) – mi ezzel foglalkozunk
- síkhullámokra bontás (Fourier-optika)

Mi a továbbiakban a pontforrásokra bontással foglalkozunk.



$\tau(\mathbf{r})$ – a felületen értelmezett komplex transzmissziófüggvény

Hullámegyenlet

Az E skalár térerősség komplex mennyiség, próbafüggvényünkben a *pozitív fázisterjedés* módszerét alkalmazzuk (azaz a fázistagot mindenhol megszorozzuk -1 -el):

$$E(\mathbf{r}, t) \equiv E(\mathbf{r})e^{-i\omega t}. \quad (1)$$

Vizsgálatainkhoz az időfüggetlen, skalár hullámegyenletből (*Helmholtz-egyenlet*) indulunk ki, ennek a megoldását keressük adott peremfeltételek esetén:

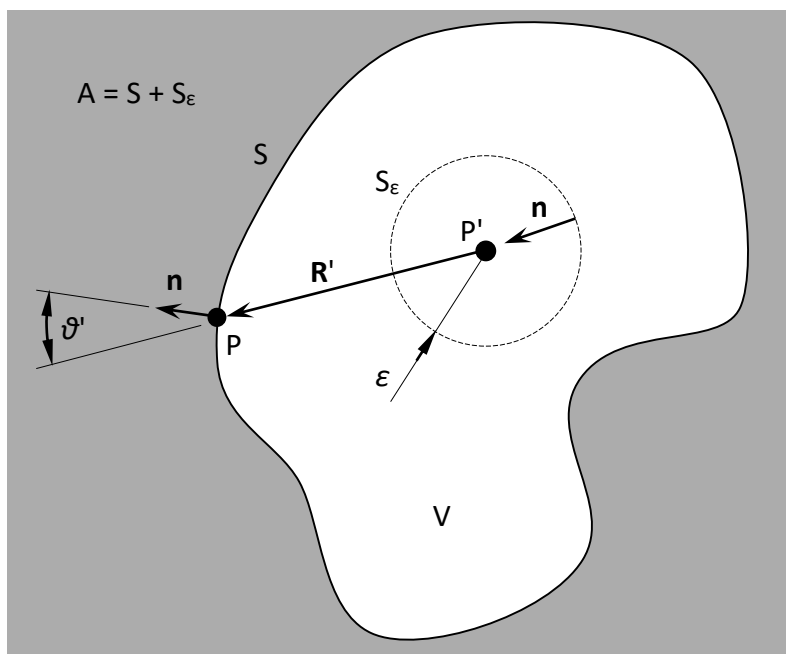
$$\nabla^2 \mathbf{E}(\mathbf{r}, \mathbf{r}) - \mu\epsilon \frac{\partial^2 \mathbf{E}(\mathbf{r}, \mathbf{r})}{\partial t^2} = 0 \rightarrow \nabla^2 E(\mathbf{r}) + k^2 \cdot E(\mathbf{r}) = 0. \quad (2)$$

Green-tétel

A levezetés alapja és kiindulási pontja a matematikából ismert *Green-tétel*: ha adott két tetszőleges komplex függvény G és E , amelyek folytonosak, és az első és második parciális deriváltjaik is folytonosak egy „ A ” zárt felületen és azon belül, akkor igaz a következő összefüggés:

$$\iiint_V (G \cdot \nabla^2 E - E \cdot \nabla^2 G) dV = \iint_A (G \cdot \mathbf{n} \nabla E - E \cdot \mathbf{n} \nabla G) dA, \quad (3)$$

ahol „ V ” az „ A ” által bezárt térfogat. A felületi integrál végigtapogatja az „ A ” felület pontjait, melyeket „ P ”-vel jelölünk. Ezen pontokban a felületnormális \mathbf{n} , melynek irányítottága a tétel értelmében mindig *kifelé* mutat a vizsgált „ V ” térfogattól.



Helmholtz és Kirchhoff integráltétele

Amennyiben $E(P)$ az „A” felületen adott és mi egy ezen belüli P' pontban keressük $E(P')$ értékét, akkor a (3) képletet tovább kell alakítani. Az alábbi levezetés a diffrakciós integrál alapja, amelynek bemutatásakor Kirchhoff módszerét követjük. (Korábban Helmholtz hanghullámokra végezte el a számolást). Kirchhoff a G ún. Green-függvényt a következőképpen választotta meg:

$$G(P) \equiv \frac{1}{R'} e^{ikR'}, \quad (4)$$

ami nem más, mint egy a P' pontból *kiinduló* gömbhullám, egységnyi amplitudóval (a terjedési irány az exponens előjeléből látszik). Erre természetesen érvényes a Helmholtz-egyenlet:

$$\nabla^2 G + k^2 \cdot G = 0 \quad (5)$$

Az E -re vonatkozó (2) egyenletet és (5)-öt behelyettesítve (3) bal oldalába:

$$\iiint_V (G \cdot \nabla^2 E - E \cdot \nabla^2 G) dV = - \iiint_V (GE \cdot k^2 - EG \cdot k^2) dV \equiv 0. \quad (6)$$

Vagyis a Green-tételből ennyi marad homogén (forrásmentes) hullámeqyenletet kielégítő komplex E és G függvények esetén:

$$\iint_A (G \cdot \mathbf{n} \nabla E - E \cdot \mathbf{n} \nabla G) dA = 0. \quad (7)$$

A P' pontban G -nek szingularitása van, emiatt ezt ki kell zárni a vizsgálatból. Ennek érdekében az „A” felületet célszerű két részből összeállítani:

$$A = S + S_\epsilon, \quad (8)$$

ahol „S” a térfogatot kívülről bezáró felület, S_ϵ pedig a P' pont köré húzott ϵ sugarú gömb. (7) ezekkel a következő módon írható át:

$$- \iint_{S_\epsilon} (G \cdot \mathbf{n} \nabla E - E \cdot \mathbf{n} \nabla G) dA = \iint_S (G \cdot \mathbf{n} \nabla E - E \cdot \mathbf{n} \nabla G) dA. \quad (9)$$

G függvény \mathbf{n} irányú deriváltja a hányadosderiválás és a láncszabály alkalmazásával:

$$\begin{aligned} \mathbf{n} \nabla G &= \mathbf{n} \cdot \text{grad} \left(\frac{e^{ikR'}}{R'} \right) = \mathbf{n} \cdot \frac{\partial}{\partial R'} \left(\frac{e^{ikR'}}{R'} \right) \cdot \text{grad}(R') = \\ &= \cos(\mathcal{G}') \cdot \left(ik \cdot \frac{e^{ikR'}}{R'} - \frac{e^{ikR'}}{R'^2} \right) = \cos(\mathcal{G}') \cdot \left(ik - \frac{1}{R'} \right) \cdot \frac{e^{ikR'}}{R'}. \end{aligned} \quad (10)$$

Az S_ε felületen a következő állítások igazak:

$$\cos(\mathcal{G}') = -1 \quad ; \quad G(P) = \frac{e^{ik\varepsilon}}{\varepsilon} \quad ; \quad \mathbf{n} \nabla G = \left(\frac{1}{\varepsilon} - ik \right) \cdot \frac{e^{ik\varepsilon}}{\varepsilon}. \quad (11)$$

Ezeket figyelembevéve és ha $\varepsilon \rightarrow 0$, akkor (9) bal oldalából a következő lesz:

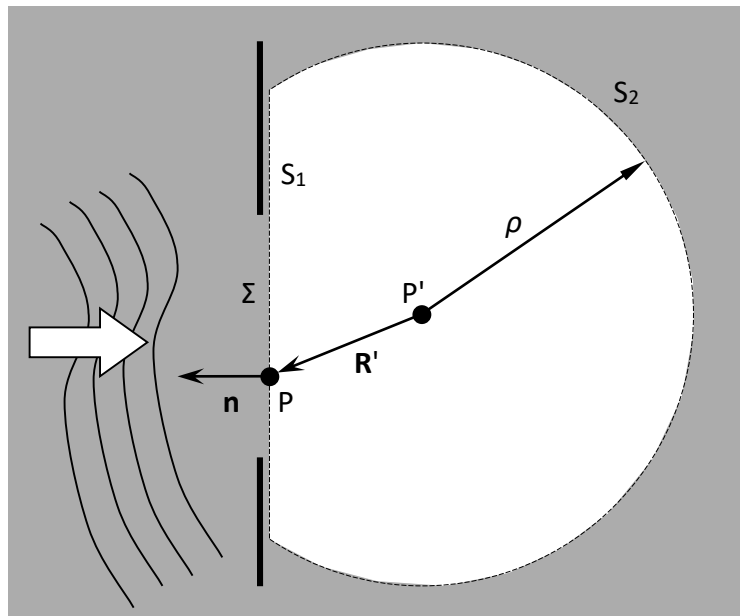
$$\iint_{S_\varepsilon} (G \cdot \mathbf{n} \nabla E - E \cdot \mathbf{n} \nabla G) dA = 4\pi\varepsilon^2 \left(\frac{e^{ik\varepsilon}}{\varepsilon} \cdot \mathbf{n} \nabla E - E \cdot \left(\frac{1}{\varepsilon} - ik \right) \cdot \frac{e^{ik\varepsilon}}{\varepsilon} \right) \rightarrow -4\pi E(P'). \quad (12)$$

A felületi integrálást azért végezhetjük el ilyen egyszerűen, mert E és ennek deriváltja folytonosak a vizsgált térfogatban, így P' -nél is, és mivel ε tart nullához, E értéke az S_ε felület mentén konstansnak tekinthető. (12)-t behelyettesítve (9)-be megkapjuk Helmholtz és Kirchhoff integráltételét, ami nem más mint a keresett összefüggés $E(P')$ -re, ahol $E(P)$ az „ S' ” felületen adott:

$$E(P') = \frac{1}{4\pi} \iint_S \left(\frac{e^{ikR'}}{R'} \cdot \mathbf{n} \nabla E - E \cdot \mathbf{n} \nabla \left(\frac{e^{ikR'}}{R'} \right) \right) dA \quad (13)$$

Fresnel-Kirchhoff diffrakciós integrál

(13) összefüggést az optikában általában az alábbi ábrán látható elrendezésre célszerű meghatározni, amelyben számunkra a Σ -val jelölt nyílás (apertúra) fontos, ui. ennek a sík felületén tekintjük ismertnek az $E(P)$ téresősséget, amit a balról érkező megvilágítás okoz.



Az integrálást az „ S' ” zárt felületen végezzük, amely most két részből áll:

$$S = S_1 + S_2. \quad (14)$$

Megmutatható, hogy ha $\rho \rightarrow \infty$, és $E(P)$ legalább olyan gyorsan tűnik el S_2 -n mint egy gömbhullám (*Sommerfeld-féle sugárzási feltétel*), akkor az integrál S_2 -n nullához tart:

$$\iint_{S_2} \left(\frac{e^{ikR'}}{R'} \cdot \mathbf{n} \nabla E - E \cdot \mathbf{n} \nabla \left(\frac{e^{ikR'}}{R'} \right) \right) dA \rightarrow 0, \quad (15)$$

vagyis (13)-ból ez marad:

$$E(P') = \frac{1}{4\pi} \iint_{S_1} \left(\frac{e^{ikR'}}{R'} \cdot \mathbf{n} \nabla E - E \cdot \mathbf{n} \nabla \left(\frac{e^{ikR'}}{R'} \right) \right) dA. \quad (16)$$

Annak érdekében, hogy az integrálást ne kelljen az S_1 végtelen sík felületre elvégezni, Kirchhoff a következő határfeltételeket szabta meg:

1. Σ apertúrán belül: $E(P) = \text{változatlan}$
2. Σ apertúrán kívül: $E(P) = 0$ és $|\text{grad}(E)| = 0$

E feltételeknek köszönhetően az integrálást már csak a Σ apertúrára kell kiszámolni:

$$E(P') = \frac{1}{4\pi} \iint_{\Sigma} \left(\frac{e^{ikR'}}{R'} \cdot \mathbf{n} \nabla E - E \cdot \mathbf{n} \nabla \left(\frac{e^{ikR'}}{R'} \right) \right) dA. \quad (17)$$

Egyszerűségük és előnyösségük ellenére mindkettő feltétel alapvető problémákat vet föl. Az hogy a térerősség ugyanakkora Σ -n belül apertúra nélkül mint apertúrával, fizikai képtelenség, ahogy az is, hogy $E(P)$ az apertúrán kívül zérus. Bármiféle abszorbens közeget helyezünk ugyanis egy sugárzó térbe, az mindenképpen módosítja a térerősség eloszlását. A hatás viszont általában elhanyagolható: ha $\Sigma > \lambda$. A másik probléma, hogy matematikailag igazolható, hogy ha egy folytonos függvény értéke és a deriváltja is egy véges intervallumon zérus, akkor a függvény mindenhol konstans nulla. Az említett következtetések feloldását az MSc-s Fizikai optika tárgyban fogjuk megkapni, ahol a Green-függvényt nem (4) segítségével definiáljuk, hanem komplexebb módon. Az eredmény a Rayleigh-Sommerfeld diffrakciós integrál lesz, ami nem szignifikánsan pontosabb mint a (17)-ből származtatott, lentebb bemutatásra kerülő diffrakciós integrál, csupán matematikailag korrekt a levezetése.

A (17)-ben szereplő Green-függvénygradienst (10) alapján határozzuk meg, az alábbi egyszerűsítő feltételezéssel élve:

$$\frac{1}{R'} \ll k \Rightarrow \frac{\lambda}{2\pi} \ll R'. \quad (18)$$

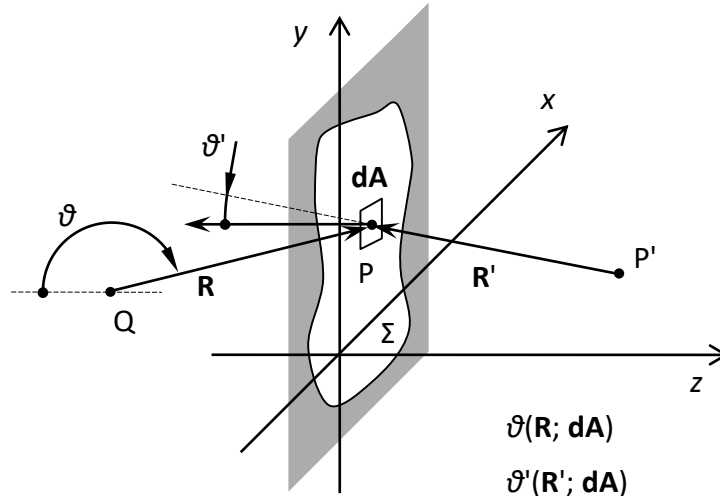
Mivel k értéke igen nagy, és a skalár közelítés miatt már korábban feltettük, hogy $\sin \vartheta' < 0.6$, azaz Σ mérete $< R'$, a (18) feltevés mindenképpen teljesül. Ezzel

$$\mathbf{n} \nabla G = \mathbf{n} \nabla \left(\frac{e^{ikR'}}{R'} \right) = \cos(\vartheta') \cdot \left(ik - \frac{1}{R'} \right) \cdot \frac{e^{ikR'}}{R'} \approx ik \cdot \cos(\vartheta') \cdot \frac{e^{ikR'}}{R'}, \quad (19)$$

vagyis a felületi integrálból a következő marad:

$$E(P') = \frac{1}{4\pi} \iint_{\Sigma} \frac{e^{ikR'}}{R'} \cdot (\mathbf{n} \nabla E - E \cdot ik \cdot \cos(\vartheta')) dA. \quad (20)$$

Ne felejtjük el, hogy ϑ' előjeles mennyiség. Az utolsó lépés, hogy megadjuk a Σ apertúrát megvilágító sugárzást, azaz $E(P)$ -t. Az egyszerűség kedvéért legyen ez egy pontforrás (Q), ami az apertúrától balra helyezkedik el.



A Q pontforrás és az apertúra P pontjai közötti távolság R , a sugárzás amplitúdója E_0 :

$$E(P) \equiv \frac{E_0}{R} e^{ikR}. \quad (21)$$

A (18) feltételezéssel itt is élhetünk (mivel Σ mérete $< R$ a skalár közelítés miatt), vagyis:

$$\frac{1}{R} \ll k \Rightarrow \frac{\lambda}{2\pi} \ll R, \quad (22)$$

amivel az E gradiense:

$$\mathbf{n} \nabla E = \cos(\vartheta) \cdot \left(ik - \frac{1}{R} \right) \cdot \frac{e^{ikR}}{R} \approx ik \cdot \cos(\vartheta) \cdot \frac{e^{ikR}}{R}. \quad (23)$$

Ezt behelyettesítve (20)-ba megkapjuk a *Fresnel-Kirchhoff diffrakciós integrált*:

$$E(P') = \frac{i}{\lambda} \iint_{\Sigma} E_0 \frac{e^{ikR}}{R} \cdot \frac{e^{ikR'}}{R'} \cdot \left(\frac{\cos(\vartheta) - \cos(\vartheta')}{2} \right) \cdot dA. \quad (24)$$

A kifejezés értelmezéséhez először azt kell észrevenni, hogy matematikailag nem különböztethető meg egy olyan pontforrás fázisa, ami a P' pontban van és a P felé terjed attól, ami P -ben van és P' felé terjed. Vagyis (24)-et felfoghatjuk úgy, hogy az elektromos tér a P' pontban felírható elemi gömbhullámok összegeként, hasonlóan a Huyghens-Fresnel elv megállapításához. Annyi a lényegi eltérés, hogy itt az elemi gömbhullámokat koszinuszos iránykarakterisztikával kell figyelembe venni, valamint szerepel egy i/λ konstans szorzó. Érdeemes megfigyelni a képlet szimmetriáját: a Q -ba helyezett forrás P' -ben pont akkora térerősséget hoz létre, mint a P' -be helyezett pontforrás Q -ban. Ez a *Helmholtz-féle reciprocitási tétel*. Az említett matematikai inkonzisztenciák ellenére (24) meglepően jól használható, és az esetek többségében igen pontos eredményt szolgáltat.

A (24) integrál még mindig nehezen kiértékelhető (mind analitikusan mind numerikusan). A képlet egyszerűsítése érdekében további közelítéseket vezetünk be. Ezek során az alábbiakban eljutunk a Huyghens-Fresnel elvhez, a Fresnel-, majd a Fraunhofer-közelítéshez.

Közelítési diffrakció – Huyghens-Fresnel elv

A skalár közelítés miatt már megköveteltük, hogy a Σ apertúra mérete jellemző méreténél R és R' legyen jellemzően nagyobb. Ebből kifolyólag alkalmazhatjuk az alábbi közelítéseket:

$$\cos(\vartheta) \approx -1 \text{ és } \cos(\vartheta') \approx 1, \quad (25)$$

ami akkor érvényes ha $\sin\vartheta' < 0,5$; $\cos\vartheta' > 0.87$. A Fresnel-Kirchhoff integrálból tehát ez marad:

$$E(P') = -\frac{i}{\lambda} \iint_{\Sigma} E_0 \frac{e^{ikR}}{R} \frac{e^{ikR'}}{R'} \cdot dA = \frac{1}{i\lambda} \iint_{\Sigma} E_0 \frac{e^{ikR}}{R} \frac{e^{ikR'}}{R'} \cdot dA \quad (26)$$

Ebben az összefüggésben az apertúrát megvilágító EM sugárzást egyetlen pontforrás (Q) alkotja. Mivel az $E(P)$ téreloszlás felírható számos pontforrásból származó sugárzás szuperpozíciójaként, a fenti képlet egyszerűen általánosítható:

$$E(P') = \frac{1}{i\lambda} \iint_{\Sigma} E(P) \cdot \frac{e^{ikR'}}{R'} \cdot dA \quad (27)$$

Ennek használatakor csak arra kell figyelni, hogy az $E(P)$ teret alkotó pontforrások mindegyikére teljesüljön a skalár diffrakció által megkövetelt kikötés: $\Sigma < R$. A (27) közelítés a komplex konstans leszámítva a Huyghens-Fresnel elvnek felel meg.

Fresnel-közelítés

Amennyiben annyira távol megyünk P'-vel az apertúrától, hogy $R' \approx z'$, a (27) összefüggés tovább egyszerűsíthető. Az $R' \approx z'$ közelítést a nevezőben közvetlenül alkalmazhatjuk, de az exponensben nem. A fázis ugyanis R' függvényében rendkívül gyorsan változik, emiatt R' Taylor-soros közelítését alkalmazzuk. A következő összefüggés alapján

$$\sqrt{1+b} \approx 1 + \frac{1}{2}b - \frac{1}{8}b^2 + \dots \quad (28)$$

R' így írható:

$$\begin{aligned} R' &= \sqrt{z'^2 + (x' - x)^2 + (y' - y)^2} = z' \sqrt{1 + \left(\frac{x' - x}{z'}\right)^2 + \left(\frac{y' - y}{z'}\right)^2} \approx \\ &\approx z' \left[1 + \frac{1}{2} \left(\frac{x' - x}{z'}\right)^2 + \frac{1}{2} \left(\frac{y' - y}{z'}\right)^2 \right] = z' + \frac{(x' - x)^2}{2z'} + \frac{(y' - y)^2}{2z'} \end{aligned} \quad (29)$$

Ez a közelítés olyan, mintha a Huyghens-féle gömbhullámok hullámfrontjait z' görbületi sugarú parabolikus felületeknek tekintenénk, ami akkor érvényes, ha a (28) szerinti négyzetes és magasabb rendű tagok által okozott fázistolás elhanyagolható:

$$\frac{2\pi}{\lambda} \cdot \frac{z'}{8} \left[\left(\frac{x' - x}{z'}\right)^2 + \left(\frac{y' - y}{z'}\right)^2 \right]^2 \ll \pi [\text{rad}] \Rightarrow \frac{1}{\sqrt[3]{4\lambda}} \cdot \left[(x' - x)^2 + (y' - y)^2 \right]^{\frac{2}{3}} \ll z'. \quad (30)$$

Ebben az esetben a diffrakciós integrál *Fresnel-közelítését* kapjuk konvolúciós felírással:

$$E(x', y') = \frac{e^{ikz'}}{i \cdot \lambda z'} \iint_{\Sigma} E(x, y) \cdot e^{i \frac{k}{2z'} \cdot ((x'-x)^2 + (y'-y)^2)} \cdot dx dy \quad (31)$$

(30) feltétel alapján ez akkor használható, ha P' pont egy bizonyos távolságnál messzebb van a Σ apertúrától. Pl. egy $\varnothing 1,0$ mm átmérőjű 633 nm hullámhosszúságú lézernyalábnál $z' \gg 2,9$ mm. Az integráljel elé az apertúra és a P' pont közötti z' távolságon elszenvedett fázistolás *geometriai optikai közelítésben* kiszámolható értékét emeltük ki egy komplex konstans formájában. Fontos megjegyzés, hogy (31) analitikus megoldása a gyakorlaton bemutatott skalár hullámegyenletnek.

Távoltéri diffrakció (Fraunhofer-közelítés)

A Fresnel-közelítés Fourier-transzformációs felírás módja (31) átalakításával:

$$\begin{aligned} E(x', y') &= \frac{e^{ikz'}}{i \cdot \lambda z'} \iint_{\Sigma} E(x, y) \cdot e^{i \frac{k}{2z'}((x'-x)^2 + (y'-y)^2)} \cdot dx dy = \\ &= \frac{e^{ikz'} \cdot e^{i \frac{k}{2z'}(x'^2 + y'^2)}}{i \cdot \lambda z'} \iint_{\Sigma} E(x, y) \cdot e^{i \frac{k}{2z'}(x^2 + y^2 - 2x'x - 2y'y)} \cdot dx dy \end{aligned} \quad (32)$$

Az integráljel előtt most már a Σ apertúra középpontjára centrált z' sugarú gömbhullám teljes fázistolása ki van emelve. Amennyiben kellően nagy távolságra vagyunk az apertúrától, az integrandusz exponensében lévő alábbi tag elhanyagolható:

$$\frac{k}{2z'} [x^2 + y^2] \ll \pi [\text{rad}] \Rightarrow \frac{1}{\lambda} [x^2 + y^2] \ll z'. \quad (33)$$

Ezekkel a feltételezésekkel megkapjuk a diffrakciós integrál legegyszerűbb kifejezését:

$$E(x', y') = \frac{e^{ikz'} \cdot e^{i \frac{k}{2z'}(x'^2 + y'^2)}}{i \cdot \lambda z'} \iint_{\Sigma} E(x, y) \cdot e^{-i \frac{k}{z'}(x'x + y'y)} \cdot dx dy, \quad (34)$$

amit távoltéri, vagy *Fraunhofer-közelítésnek* neveznek. A nagy terjedési távolság miatt ekkor a Huygens-féle elemi gömbhullámok hullámfrontja már síknak tekinthető (ld. exponens).

(34) tulajdonképpen nem más mint 2D Fourier transzformáció f_x és f_y térfrekvenciákkal. Emlékeztetőül az 1D Fourier transzformáció képlete:

$$G(f_x) = F(g(x)) = \int_{-\infty}^{\infty} g(x) \cdot e^{-i2\pi f_x x} dx \quad ; \quad f_x = \frac{x'}{\lambda \cdot z'} \quad ; \quad f_y = \frac{y'}{\lambda \cdot z'}. \quad (35)$$

Az inverz transzformáció segítségével könnyebben értelmezhetjük (34) kifejezést. Ehhez először átrendezzük (34)-et, hogy az új összefüggés jobb oldala pontosan Fourier-transzformált alakú legyen:

$$\frac{i \cdot \lambda z'}{e^{ikz'} \cdot e^{i \frac{k}{2z'}(x'^2 + y'^2)}} E(x', y') = \iint_{\Sigma} E(x, y) \cdot e^{-i \frac{k}{z'}(x'x + y'y)} \cdot dx dy. \quad (36)$$

A bal oldal inverz Fourier-transzformáltja tehát nem más mint $E(P)$:

$$E(x, y) = i \cdot \lambda z' e^{-ikz'} \int_{-\infty-\infty}^{\infty} \int_{-\infty-\infty}^{\infty} e^{-i \frac{k}{2z'}(x'^2 + y'^2)} \cdot E(x', y') \cdot e^{i2\pi(f_x x + f_y y)} \cdot df_x df_y, \quad (37)$$

ahová behelyettesítve a térfrekvenciák (35) képletét, megkapjuk az inverz Fourier-transzformált kifejezését:

$$E(x, y) = \frac{i \cdot e^{-ikz'}}{\lambda z'} \int_{-\infty-\infty}^{\infty} \int_{-\infty-\infty}^{\infty} e^{-i \frac{k}{2z'}(x'^2 + y'^2)} \cdot E(x', y') \cdot e^{i \frac{k}{z'}(x'x + y'y)} \cdot dx' dy'. \quad (38)$$

(38) integranduszában az exponenciális kifejezés *síkhullámokat* ír le, amit úgy értelmezhetünk, hogy a 2D Fourier-transzformáció harmonikus síkhullámokra bontást jelent. Az analógia mindazonáltal nem tökéletes, mivel az inverz transzformáció képletében megjelenik egy gömbhullám fázis tagja is, ami akkor tűnne el, ha a P' pontokat nem egy sík felületen, hanem

egy, a Σ apertúra középpontjára centrált gömbön vennék fel. A síkhullám-összetevők hullámszámvektor-komponensei a következők:

$$k_x = k \cdot \frac{x'}{z'} \quad ; \quad k_y = k \cdot \frac{y'}{z'} . \quad (39)$$

A (33) feltétel értelmezéséhez a Fresnel-közelítésnél bemutatott számpéldával élve most azt kapjuk, hogy $z' \gg 395 \text{ mm}$, azaz a Fresnel-közelítéshez képest két nagyságrenddel messzebb kell mennünk az apertúrától, hogy a Fraunhofer-közelítés érvényes legyen. A feltétel vizsgálata annyira fontos, hogy a kifejezést átrendezve d átmérőjű kör alakú apertúrára definiálták az ún. *Fresnel-számot*:

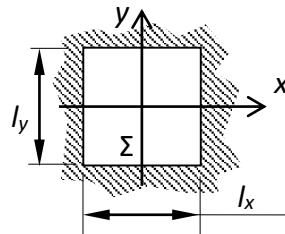
$$F \equiv \frac{\left(\frac{d}{2}\right)^2}{\lambda \cdot z'} . \quad (40)$$

Ha $F \ll 1$, akkor Fraunhofer-diffrakcióról, ha $F \geq 1$, akkor Fresnel-diffrakcióról beszélünk.

A (34)-ben szereplő $1/i$ komplex konstans igazából most nyert értelmet: a diffraktáló Σ apertúra és a tőle nagy z' távolságra, a z -tengelyen lévő pont közötti fáziskülönbség nem a geometriai optikailag kiszámolható $k \cdot z'$, hanem egy ehhez képest 90° fokkal *siettetett* érték! (Ne felejtjük el, hogy tárgyalásunkban a fázis a terjedés irányában növekszik, de a valóságban csökken, azaz késik.) A jelenséget *fázisanomáliának* nevezik, mert olyan, mintha a diffrakció miatt kissé megnőne a hullámhossz.

Fraunhofer-diffrakció felhasználása

A Fraunhofer-diffrakciós integrál egyszerűbb esetekben analitikusan is kiértékelhető. Elsőként nézzük meg egy téglalap alakú apertúra távortéri diffrakciós képét.



Az $E(P)$ térerősség az apertúrán belül legyen konstans 1, azon kívül nulla:

$$E(x, y) = \text{rect}\left(\frac{x}{l_x}\right) \cdot \text{rect}\left(\frac{y}{l_y}\right) , \quad \text{rect}(a) \equiv \begin{cases} 1 & \text{ha } |a| \leq \frac{1}{2} \\ 0 & \text{ha } |a| > \frac{1}{2} \end{cases} \quad (41)$$

ami a z -tengely irányába terjedő homogén síkhullámnak felel meg a Σ apertúrán történő áthaladás után. Ezt beírva (34)-be:

$$E(x', y') = \frac{e^{ikz'} \cdot e^{i\frac{k}{2z'}(x'^2+y'^2)}}{i \cdot \lambda z'} \int_{-l_y/2}^{l_y/2} \int_{-l_x/2}^{l_x/2} e^{-i\frac{k}{z'}(x'x+y'y)} \cdot dx dy . \quad (42)$$

Az integrál analitikusan kiértékelhető:

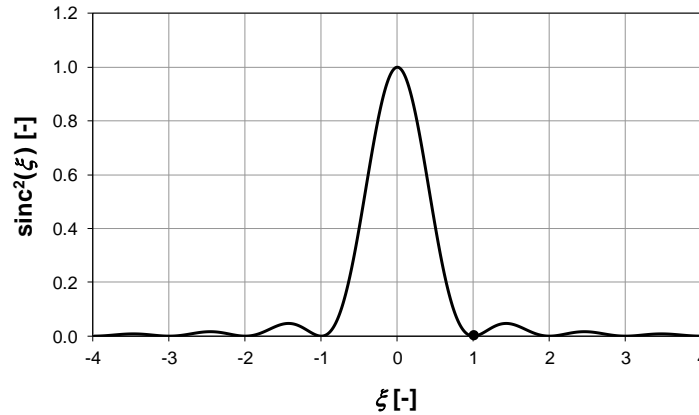
$$E(x', y') = \frac{e^{ikz'} \cdot e^{i\frac{k}{2z'}(x'^2+y'^2)}}{i \cdot \lambda z'} \cdot l_x l_y \cdot \text{sinc}\left(\frac{l_x x'}{\lambda z'}\right) \cdot \text{sinc}\left(\frac{l_y y'}{\lambda z'}\right) \quad (43)$$

$$I(x', y') = \langle S \rangle = \frac{v\varepsilon}{2} |E|^2 = \frac{v\varepsilon}{2} \frac{l_x^2 l_y^2}{\lambda^2 z'^2} \cdot \text{sinc}^2\left(\frac{l_x x'}{\lambda z'}\right) \cdot \text{sinc}^2\left(\frac{l_y y'}{\lambda z'}\right)$$

ahol a $\text{sinc}(\xi)$ függvény definíciója:

$$\text{sinc}(\xi) \equiv \frac{\sin(\pi\xi)}{\pi\xi}, \quad \xi \equiv \frac{l_x x'}{\lambda z'} \quad (44)$$

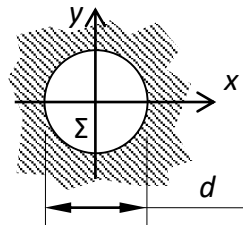
Az intenzitásfüggvény 1-re normált jellegzetes alakja az alábbi ábrán tekinthető meg.



Azt a pontot az x - illetve az y -tengelyen, ahol az intenzitás első zérushelyét felveszi, *Nyquist-apertúrának* nevezik:

$$\xi = 1 \Rightarrow \boxed{\Delta x' = \frac{\lambda z'}{l_x}} \quad (45)$$

Kör alakú apertúra távortéri diffrakciós képe a fentiekhez hasonlóan határozható meg, csak a 2D Fourier-transzformáció helyett ennek hengerkoordinátarendszerben felírt megfelelőjét, az ún. *Hankel-transzormációt* kell elvégezni.



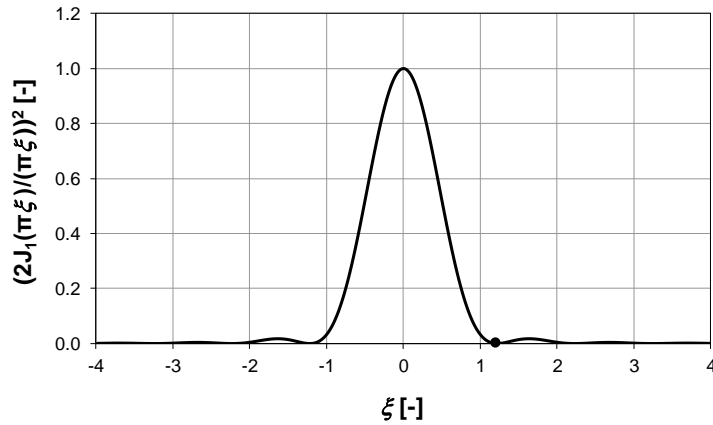
A levezetés mellőzésével az eredmény:

$$I(r') = \langle S \rangle = \frac{v\varepsilon}{2} |E|^2 = \frac{v\varepsilon}{2} \left(\frac{k \cdot d^2}{8z'} \right)^2 \cdot \left[2 \frac{J_1(\pi\xi)}{\pi\xi} \right]^2, \quad (46)$$

ahol $J_1(\pi\xi)$ az ún. elsőrendű Bessel-függvény, argumentumának definíciója pedig:

$$\pi\xi \equiv \frac{kd \cdot r'}{2z'} \rightarrow \xi \equiv \frac{d \cdot r'}{\lambda z'}, \quad r'^2 \equiv x'^2 + y'^2 \quad (47)$$

A diffrakciós folt 1-re normált intenzitáseloszlását ebben az esetben *Airy-foltnak* nevezik. A téglalapapertúra diffrakciós képével összevetve megállapíthatjuk, hogy a mellékmaximumok itt sokkal kisebbek.

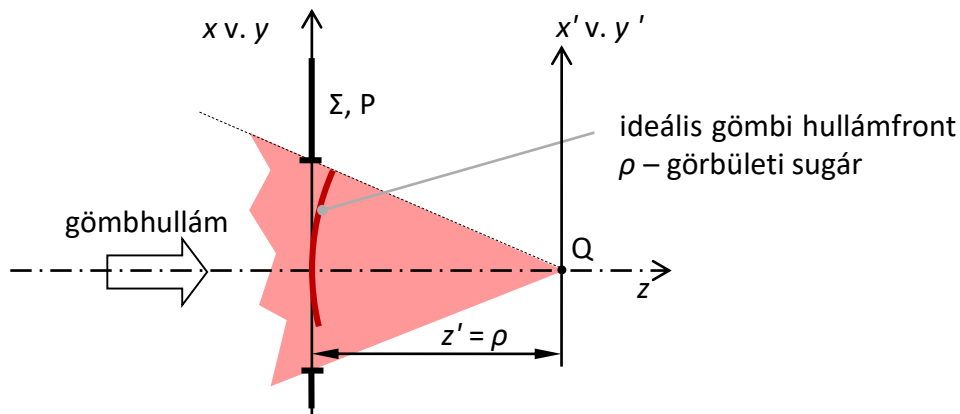


Az első zérushely neve *Airy-rádusz*, értéke $J_1(\pi\xi) = 0 \Rightarrow \xi = 1,22$ alapján:

$$\Delta r' = 1,22 \cdot \frac{\lambda z'}{d} . \quad (48)$$

Fresnel-diffrakció felhasználása

A következőkben azt vizsgáljuk meg, hogy miként számolható ki a téreloszlás egy ideális gömbhullám x', y' fókusz síkjában. A hullám görbületi sugara ρ a Σ apertúrában.



Feltétel: $\rho > \Sigma$ (paraxiális közelítés, hogy a *Fresnel-közéltés* érvényes legyen). A megvilágítás tehát egy Q pontforrás, amely *felé* tart a fény:

$$E(P) = E_0 \cdot e^{-ik\sqrt{x^2+y^2+\rho^2}} , \quad (49)$$

ahol a térerősségamplitudót konstansnak tekintjük a Σ apertúrában. Az exponensben ismét másodrendű Taylor-soros közelítést alkalmazunk:

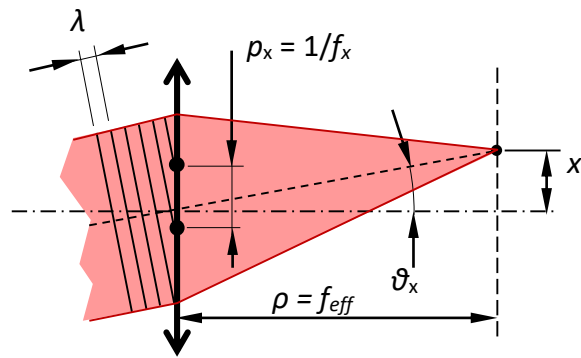
$$E(P) = E_0 \cdot e^{-ik\left(\rho + \frac{x^2}{2\rho} + \frac{y^2}{2\rho}\right)} . \quad (50)$$

A *Fresnel-közéltés* Fourier-transzformációs (32) képletébe helyettesítve $E(P)$ -t, amikor $z' = \rho$:

$$E(x', y') = \frac{E_0 \cdot e^{ik\rho} \cdot e^{\frac{i\cdot k}{2\rho}(x'^2+y'^2)}}{i \cdot \lambda \cdot \rho} \iint_{\Sigma} e^{-\frac{i\cdot k}{\rho}(x'x+y'y)} \cdot dx dy . \quad (51)$$

Ez *formailag* megegyezik a Fraunhofer-diffrakció (34) képletével, csak z' helyett ρ -szerepel a képletben! Mivel a diffraktáló nyaláb fázisát a Q középpontú gömbhulláméhoz viszonyítottuk, a geometriai optikailag meghatározható $k \cdot \rho$ fázistolás kiesik a képletből. A fázisanómia miatt a fázis itt is siet 90° -ot.

Amennyiben a Σ apertúrában egy vékonylencse helyezkedik el ($\rho = f_{eff}$), akkor a balról érkező sugárzás Fourier-transzformálja a lencse fókusz síkjában jelenik meg.



A Fraunhofer-diffrakciónál tanultak alapján a fókusz sík pontjainak a következő térfrekvenciák feleltethetők meg:

$$f_x = \frac{x'}{\lambda \cdot \rho} \quad ; \quad f_y = \frac{y'}{\lambda \cdot \rho} \quad \text{illetve} \quad k_x = 2\pi \cdot f_x = \frac{2\pi \cdot x'}{\lambda \cdot \rho} \quad ; \quad k_y = 2\pi \cdot f_y = \frac{2\pi \cdot y'}{\lambda \cdot \rho} \quad (52)$$

Ha a lencse apertúrájának síkjában a belépő tér egy olyan síkhullám, amely ϑ_x és ϑ_y szöget zár be a z-tengellyel, a fókusz síkban kapott téreloszlás egy olyan fókuszfolt lesz, amelynek a középpontja x' ill. y' távolságra eltolódik az optikai tengelytől. Tehát a 2D Fourier-transzformált egy adott térfrekvenciájú komponensének fizikailag egy meghatározott szögű síkhullám felel meg. A belépő síkhullám x , y -irányú hullámhosszaiból:

$$\vartheta_x \approx \frac{\lambda}{p_x} = \lambda \cdot f_x \quad ; \quad \vartheta_y \approx \frac{\lambda}{p_y} = \lambda \cdot f_y \quad , \quad (53)$$

ahol felhasználtuk, hogy paraxiális közelítésben: $\tan \vartheta \approx \vartheta$.

A (51) integrál a Fraunhofer-közelítésnél alkalmazott módon kiértékelhető, amiből kör apertúránál, ideális gömb hullámfront esetén megkapjuk a már bemutatott Airy-foltot. Ezeket az eredményeket felhasználva a „d” átmérőjű vékonylencse képsíkban mért Airy-folt sugara a következő:

$$\Delta r' = 1,22 \cdot \frac{\lambda \rho}{d} \quad (54)$$

Általános esetben a hullámfront nem ideális, hanem aberrációkkal terhelt:

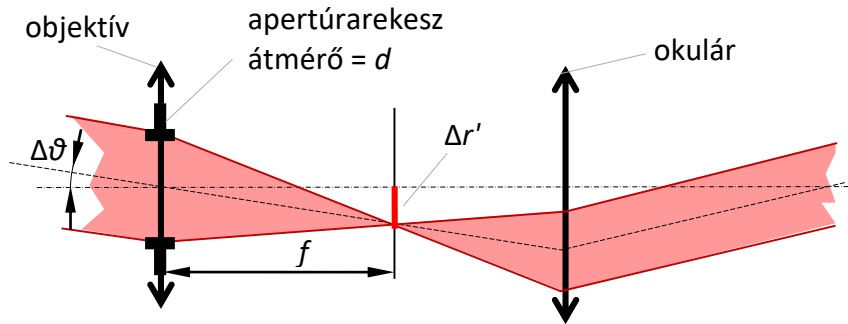
$$E(P) = E_0 \cdot e^{ik \cdot OPD(x,y)} \cdot e^{-ik \cdot \left(\rho + \frac{x^2}{2\rho} + \frac{y^2}{2\rho} \right)} \quad (55)$$

ahol $OPD(x, y)$ optikai úthossz különbség írja le a hullámfront ideális gömbtől való eltérését. Az elektromos térerősség abszolútérték négyzetéből megkapjuk a számunkra általában leginkább érdekes intenzitáseloszlást:

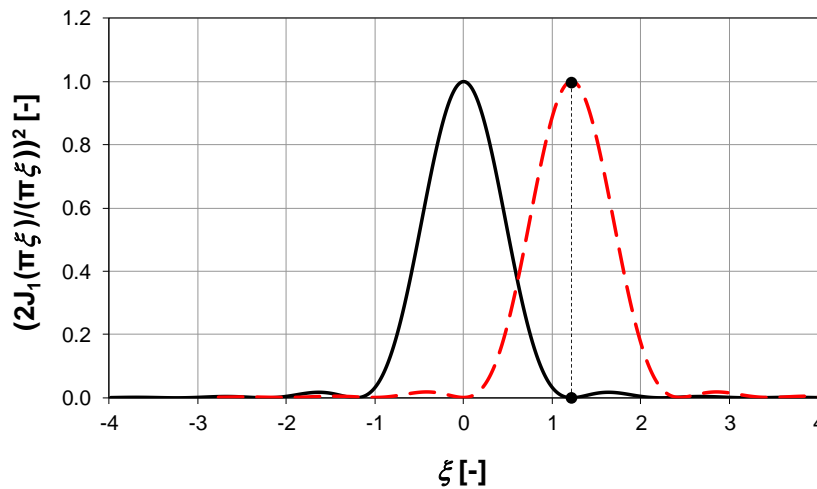
$$I = \langle S \rangle = \frac{v\varepsilon}{2} |E|^2 = \frac{v\varepsilon}{2} \frac{E_0^2}{\lambda^2 \cdot \rho^2} \left| \iint_{\Sigma} e^{ik \cdot OPD(x,y)} \cdot e^{-i \frac{k}{\rho} (x^2 + y^2)} \cdot dx dy \right|^2 \quad (56)$$

Ilyen esetekben a (49)-el bevezetett ideális gömbhullámot *Gauss-féle referenciagömbnek* nevezik. Megjegyzendő, hogy megfelelő módszerekkel lehet olyan lencserendszereket tervezni, amelyek nem csak a paraxiális közelítésben Fourier-transzformálnak; ezeket Fourier-transzformációs lencséknek nevezik.

Fraunhofer-diffrakció alkalmazása: távcső felbontóképessége



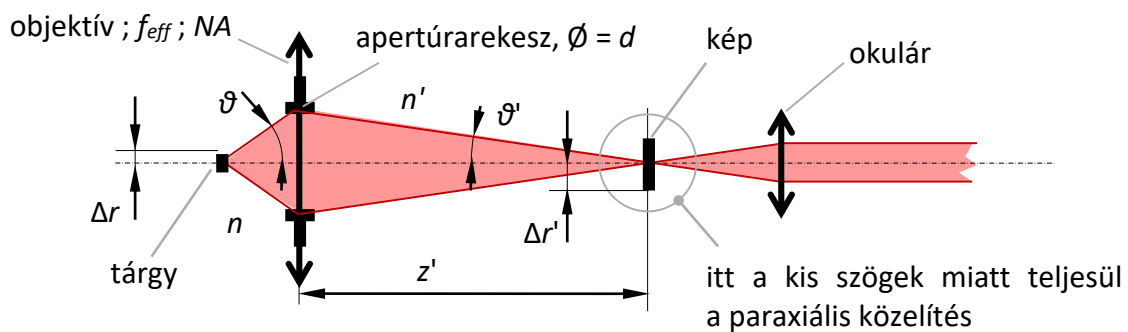
Rayleigh-féle felbontás kritérium: két vizuálisan még felbontható diffrakciós folt egyikének az első minimuma egybeesik a másik maximumával.



Távcsőnél az az apertúra emelyen létrejön a fénydiffrakció, az objektív lencse v. tükör apertúrája. A körapertúra Fraunhofer-diffrakciós modelljéből a távcső szögfelbontása:

$$\Delta\vartheta \approx \text{tg}(\Delta\vartheta) = \frac{\Delta r'}{z'} = 1,22 \cdot \frac{\lambda}{d} \quad (57)$$

Fresnel-diffrakció alkalmazása: mikroszkóp felbontóképessége (kiegészítő anyag)



Körapertúrás lencse Rayleigh-felbontása a képoldalon ld. (54):

$$\Delta r' = 1,22 \cdot \frac{\lambda z'}{d} \Rightarrow \text{tg}(\vartheta') = \frac{d}{2z'} = 0,61 \frac{\lambda}{\Delta r'} \approx \sin \Theta' \quad (58)$$

A mikroszkópobjektív ún. aplanatikus leképezőrendszer, ebből kifolyólag teljesíti az ún. Abbe-féle szinuszfeltételt:

$$\Delta r \cdot n \cdot \sin(\mathcal{G}) = \Delta r' \cdot n' \cdot \sin(\mathcal{G}') \quad (59)$$

amiből a tárgyoldali felbontás:

$$\Delta r = 0,61 \frac{\lambda_0}{n' \sin(\mathcal{G}')} = 0,61 \frac{\lambda_0}{NA}. \quad (60)$$

(Magyarázat ld. pl. *Born-Wolf: Principles of Optics.*)